

توانایی مدل دینامیک - استاتیکی در تحلیل شکافت هسته های سنگین برانگیخته

اسلامی زاده محمد هادی

گروه فیزیک دانشگاه خلیج فارس بوشهر-بوشهر-خیابان شهید ماهینی-دانشگاه خلیج فارس
e-mail: m_islamizadeh@yahoo.com

چکیده

در چارچوب مدل دینامیک استاتیکی نتایج تجربی احتمال شکافت برای تعدادی از ایزوتوپهای Pu ، احتمال ورود به حالت‌های ایزومری ^{240}Pu به شکافت آنی و زمان شکافت برای واکنش $\alpha + ^{238}Pu$ با $E_{\alpha} = 20 - 30 \text{ MeV}$ آنالیز گردیدند، برحسب مدل فوق‌الذکر قصد داریم توانایی این مدل را در آنالیز برخی نتایج تجربی نشان دهیم.

واژه های کلیدی: شکافت، اثرات پوسته‌ای، زمان شکافت، ایزومرهای شکلی، احتمال شکافت.

مقدمه

وجود چاه پتانسیل دوم در سد شکافت هسته‌های سنگین در موارد مختلفی از جمله شکافت حالت‌های ایزومری، تشدیدهای شکافت گزارش شده است. وجود چاه پتانسیل دوم تاثیر موثری بر زمان شکافت، تعداد ذرات سبک خروجی قبل از فرایند شکافت، توزیع زاویه ای پاره های شکافت و ... دارد. جهت آنالیز نتایج تجربی می توان از مدل استاتیکی یا مدل دینامیکی استفاده کرد، استفاده از مدل استاتیکی در مواردی با موفقیت و در مواردی با شکست روبرو گردیده، بطور مثال آنالیز تعداد متوسط نوترونهای خروجی قبل از فرایند شکافت با توجه به کوتاه بودن زمان شکافت که در چارچوب این مدل پیش بینی می‌گردد میسر نمی‌باشد و از طرفی استفاده از مدل دینامیکی هم با توجه به زمان طولانی محاسبات توسط کامپیوتر با مشکلاتی همراه می‌باشد، از این رو مناسب می‌باشد که از مدل دینامیک استاتیکی که نتیجه از ترکیب مدل دینامیکی با مدل استاتیکی است، استفاده گردد.

شرح مدل محاسباتی

در چارچوب مدل دینامیک استاتیکی [۱] انرژی پتانسیل یک هسته در حال چرخش با اسپین J را میتوان از جمع انرژی پتانسیل در چارچوب مدل قطره‌ای $V_{id}(r, J)$ [۲] و تصحیح پوسته‌ای δW محاسبه کرد

$$\Gamma_b = \frac{1}{2\pi\rho_A(E^*; J)} \sum_{I_B} (2I_b + 1)(2I_B + 1) \times \int_{V_{coul}} d\varepsilon_b \rho_B(E^* - B_b - \varepsilon_b; I_B) \times \sum_{S_b = |I_b - I_B|}^{I_b + I_B} \sum_{l_b = |J - S_b|}^{J + S_b} T_{l_b}^{S_b}(b, \varepsilon_b) \quad (3)$$

پهنای خروج تابش گاما، با رابطه [6,7]

$$\Gamma_\gamma = \frac{1}{2\pi\rho(E^*, J)} \sum_{I_B = |J-1|}^{J+1} \int_0^{E^*} d\varepsilon \xi \times \rho(E^* - \varepsilon, I_B) \varepsilon^3 \quad (4)$$

پهنای عبور از سد اول و دوم پتانسیل با رابطه بوهر اویلر [8]، با در نظر گیری تصحیح کرامرز [9]

$$\Gamma_f = c_{kram} \frac{1}{2\pi\rho(E^*, J)} \int_{-B_f}^{E^* - B_f} d\varepsilon \times \frac{\rho_{sad}(E^* - B_f - \varepsilon, J)}{1 + e^{-2\pi\varepsilon / (h\omega_{sad})}} \quad (5)$$

و جهت محاسبه دانسیته حالت‌های هسته از رابطه آگنیتوک [10] با در نظر گیری اثرات چرخشی و ارتعاشی استفاده گردیدند.

$$\rho(E, J) = K_{rot} K_{vib} \rho_{int}(E, J) \quad (6)$$

در چارچوب مدل دینامیک استاتیکی محاسبات در چاه پتانسیل اول مبتنی برمدل استاتیکی، و بنا به روش منت کارلو رویداد خروج ذرات یا عبور از سد پتانسیل اول تعیین می‌گردد، و در صورت رویداد عبور از سد پتانسیل اول، محاسبات در چاه پتانسیل دوم در چارچوب مدل دینامیکی ادامه می‌یابد.

جهت شبیه سازی تحول هسته در چارچوب مدل دینامیکی می‌توان از سیستم معادلات لانژوین استفاده [11] کرد

$$\frac{dr}{dt} = \frac{p}{m(r)}$$

$$\frac{dp}{dt} = -\frac{1}{2} \left[\frac{p}{m(r)} \right]^2 \frac{dm(r)}{dr} - \frac{dV}{dr} - \beta(r)p + f(t) \quad (7)$$

$$\Gamma_b = \frac{1}{2\pi\rho_A(E^*; J)} \sum_{I_B} (2I_b + 1)(2I_B + 1) \times \int_{V_{coul}}^{E_c - B_b} d\varepsilon_b \rho_B(E^* - B_b - \varepsilon_b; I_B) \times \sum_{S_b = |I_b - I_B|}^{I_b + I_B} \sum_{I_b = |J - S_b|}^{J + S_b} T_{I_b S_b}^J(b, \varepsilon_b) \quad (3)$$

پهنای خروج تابش گاما، با رابطه [6,7]

$$\Gamma_\gamma = \frac{1}{2\pi\rho(E^*, J)} \sum_{I_B = |J-1|}^{J+1} \int_0^{E^*} d\varepsilon \xi \times \rho(E^* - \varepsilon, I_B) \varepsilon^3 \quad (4)$$

پهنای عبور از سد اول و دوم پتانسیل با رابطه بوهر اوپلر [8]، با در نظر گیری تصحیح کرامرز [9]

$$\Gamma_f = c_{kram} \frac{1}{2\pi\rho(E^*, J)} \int_{-B_f}^{E^* - B_f} d\varepsilon \times \frac{\rho_{sad}(E^* - B_f - \varepsilon, J)}{1 + e^{-2\pi\varepsilon / (\hbar\omega_{sad})}} \quad (5)$$

و جهت محاسبه دانسیته حالت‌های هسته از رابطه اگنیتوک [10] با در نظر گیری اثرات چرخشی و ارتعاشی استفاده گردیدند.

$$\rho(E, J) = K_{rot} K_{vib} \rho_{int}(E, J) \quad (6)$$

در چارچوب مدل دینامیک استاتیکی محاسبات در چاه پتانسیل اول مبتنی بر مدل استاتیکی، و بنا به روش منت کارلو رویداد خروج ذرات یا عبور از سد پتانسیل اول تعیین می‌گردد، و در صورت رویداد عبور از سد پتانسیل اول، محاسبات در چاه پتانسیل دوم در چارچوب مدل دینامیکی ادامه می‌یابد.

جهت شبیه سازی تحول هسته در چارچوب مدل دینامیکی می‌توان از سیستم معادلات لانژوین استفاده [11] کرد

$$\frac{\dot{r}}{dt} = \frac{p}{m(r)}$$

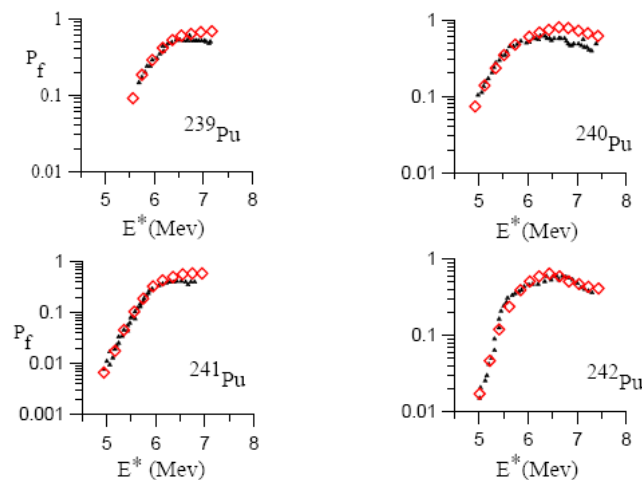
$$\frac{\dot{p}}{dt} = -\frac{1}{2} \left[\frac{p}{m(r)} \right]^2 \frac{dm(r)}{dr} - \frac{dV}{dr} - \beta(r)p + f(t) \quad (7)$$

در رابطه بالا Γ مختصه جمعی، p ممتتم خطی، $m(r)$ پارامتر ایزوتروپی وابسته به تغییر شکل، V انرژی پتانسیل، $\beta(r)$ ویسکوزیته و $f(t)$ نیروی اتفاقی می‌باشد و بگونه‌ای تعریف می‌گردد که دارای فرم گوسین بوده و $\langle f(t) \rangle = 0$.

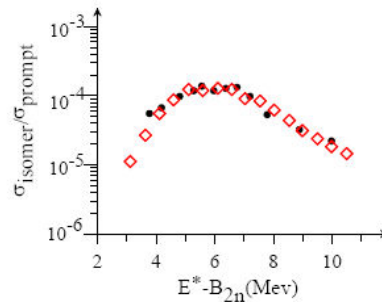
طی شبیه سازی تحول هسته در چارچوب مدل دینامیکی چندین امکان برای مسیر لانژوین میتوان انتظار داشت ۱- رسیدن به نقطه جدایی که در این صورت می‌توان هسته را شکافته شده پنداشت ۲- خروج ذرات سبک و ته نشین شدن در چاه پتانسیل دوم و ورود به حالت‌های ایزومری ۳- برگشت به چاه پتانسیل اول، که در مورد آخر کل محاسبات بایستی مجدداً تکرار گردد.

آنالیز داده‌های تجربی

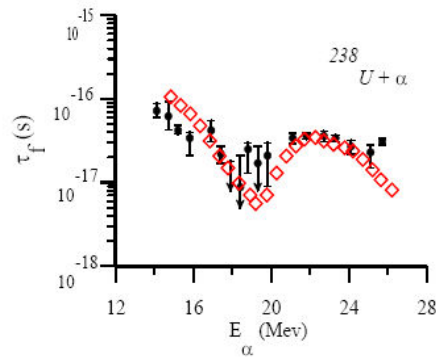
برحسب آنالیز نتایج شکافت پذیری ^{239}Pu ، ^{240}Pu ، ^{241}Pu ، ^{242}Pu ، احتمال ورود به حالت‌های ایزومری ^{240}Pu ، و زمان شکافت واکنش $\alpha + ^{238}\text{U}$ با $E_\alpha = 20 - 30 \text{ Mev}$ می‌توان پارامترهای سد شکافت را برای ایزوتوپهای ^{239}Pu ، ^{240}Pu ، ^{241}Pu ، ^{242}Pu تعیین کرد، بطوریکه بر حسب برازش نتایج تجربی شکافت پذیری با نتایج محاسبات، ارتفاع و انحنای سد اول، واز برازش نتایج تجربی با نتایج محاسبات احتمال ورود به حالت‌های ایزومری ^{240}Pu به شکافت آبی و زمان شکافت برای واکنش $\alpha + ^{238}\text{U}$ با $E_\alpha = 20 - 30 \text{ Mev}$ می‌توان عمق چاه دوم و ارتفاع و انحنای سد دوم را تعیین کرد، در شکل‌های ۲، ۳، ۴ نتایج برازش نتایج تجربی با نتایج محاسبات ارئه گردیده است.



شکل ۲: احتمال شکافت هسته های ^{239}Pu ، ^{240}Pu ، ^{241}Pu ، ^{242}Pu بر حسب انرژی برانگیختگی ▲ - داده های تجربی [12]، ◇ - نتایج محاسبات.



شکل ۳: سطح مقطع تشکیل ایزمرهای شکلی ^{238}Pu به سطح مقطع شکافت آبی برحسب $E^* - B_{2n}$ ، مجموع انرژی بستگی دو نوترون خروجی از ^{238}Pu تشکیل شده در واکنش $\alpha + ^{238}\text{U}$ قبل از ورود به حالت‌های ایزومری ^{238}Pu ، داده‌های تجربی [۱۲]، \diamond - نتایج محاسبات.



شکل ۴: زمان شکافت هسته مرکب حاصله از واکنش $\alpha + ^{238}\text{U}$ برحسب انرژی ذره α ، داده‌های تجربی [۱۳]، \diamond - نتایج محاسبات.

در جدول ۱ نتایج پارامترهای سد شکافت تعدادی از ایزوتوپ‌های پلوتونیم که در چارچوب مدل دینامیک استاتیکی محاسبه گردیده‌اند ارائه گردیده و نتایج با نتایج سیستماتیک (*) مقایسه گردیده است.

جدول ۱: مقایسه پارامترهای محاسبه شده سد شکافت ^{242}Pu ، ^{241}Pu ، ^{240}Pu ، ^{239}Pu با پارامترهای سیستماتیک [۴]

Nucleus	E_A (MeV)	$\lambda_{\alpha A}$ (MeV)	E_B (MeV)	$\lambda_{\alpha B}$ (MeV)	E_{II} (MeV)
^{242}Pu	5.67 (5.60±0.20)*	0.90 (1.04)*	5.10 (5.10±0.20)*	0.45 (0.60)*	2.00 (-)*
^{241}Pu	6.00 (6.10±0.20)*	0.84 (0.80)*	5.10 (5.40±0.20)*	0.60 (0.52)*	1.75 (1.90±0.20)*
^{240}Pu	5.60 (5.30±0.20)*	1.00 (1.04)*	5.00 (5.10±0.20)*	0.80 (0.60)*	2.00 (2.40±0.20)*
^{239}Pu	6.15 (6.20±0.20)*	0.86 (0.80)*	5.50 (5.50±0.20)*	0.52 (0.52)*	2.20 (2.60±0.20)*

بحث و نتیجه گیری:

در مقاله ارائه شده تحول شکافت تعدادی از ایزوتوپهای پلوتونیم با در نظرگیری اثرات اتلافی و وابستگی دمایی سد پتانسیل در چارچوب مدل دینامیک- استاتیکی مورد بررسی قرار گرفتند، و بر حسب آنالیز داده های تجربی زمان شکافت، شکافت پذیری و احتمال ورود به حالت های ایزومری ^{242}Pu پارامترهای سد شکافت تعدادی از ایزوتوپهای پلوتونیم تعیین گردیدند. لازم به ذکر است که پارامترهای سد شکافت که سابقاً آنالیز گردیده اند مبتنی بر مدل استاتیکی و بدون در نظرگیری اثرات جنبشی هسته بوده است و نشان داده شد که عمق چاه دوم پتانسیل اندکی کوچکتر از مقادیر آنالیز شده در چارچوب مدل استاتیکی می باشد.

مراجع:

1. Frobrich, I. I. Gontchar, and N. D. Mavlitov, Nucl. phys. A556, 281 (1993).
2. Myers W. D., Swiatecki W. J. Average nuclear properties // ANN. Phys. 1969. v. 55. P 395-505.
3. Yuminov O. A. et al. // Nuclear Instruments and Methods in Physics research B. 2000v. 165. P. 960-964.
4. Bjornholm S., Lynn J. E. The double- humped fission barrier. // Review of Modern Physics .1980. V. 52. p. 725-931.
5. W. Hauser, H. Feschbach, Phys. Rev. 87 (1952) 366.
6. J. R. Grover, Gilat, Phys. Rev. 157 (1967) 802, 814, 823
7. F. H. Ruddy, B. D. Pate, E. W. Vogt, Nucl. Phys. A 127 (1969) 323.
8. N. Bohr, J. A. Wheeler, Phys. Rev. 56 (1939) 426.
9. H. Kramers, Physica VII (4) (1940) 284
10. A. V. Ignatyuk, K. Istekov, and G. n. Smirenkin, Sov. J. Nucl. Phys. 29, 450 (1979).
11. T. Wada, Y. Abe, and N. Garjan, Phys. Rev. Lett. 70, 35-38 (1993).
12. Britt B. C. et al. // Phys. Rev. c. 1971. v. 4. p. 1444.
13. Grusha O. V. et al. // Nucl. Phys. A. 1984, v. 429. p. 313.